



# Μεταφορά μητρικής ατράκτου (MST) για την πρόληψη μιτοχονδριακών νόσων και της υπογονιμότητας

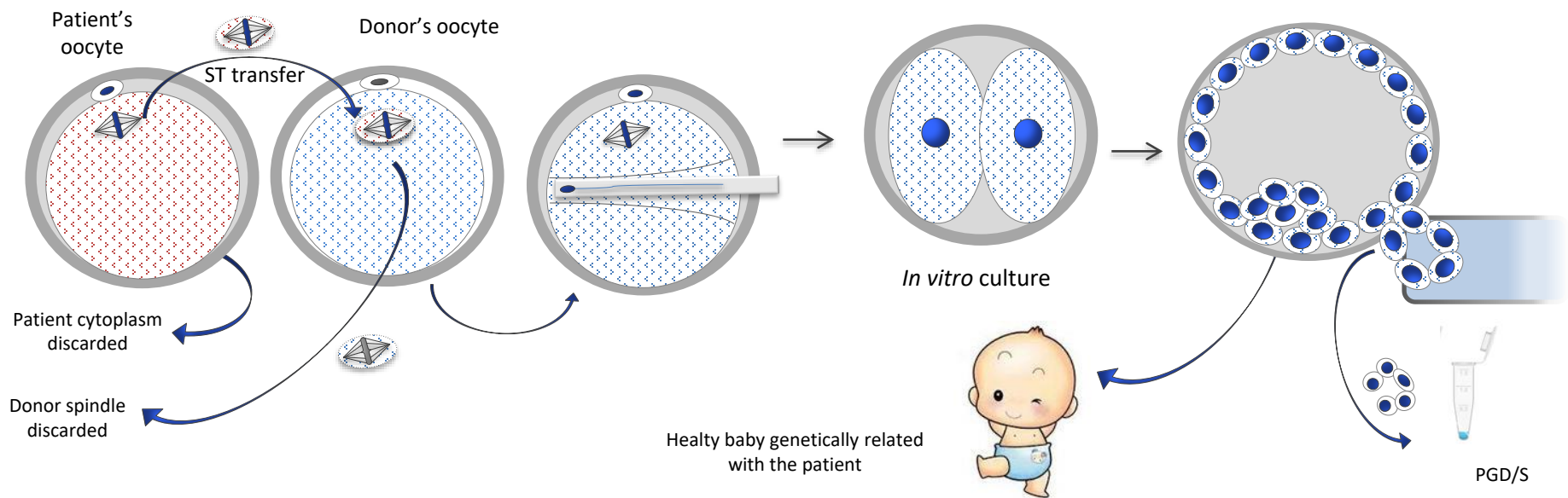
Επιστημονική ομάδα *MST Project*  
*Institute of Life – Embryotools*

# Μεταφορά μητρικής ατράκτου

Οι θεραπείες μιτοχονδριακής αντικατάστασης έχουν προταθεί για την πρόληψη της μετάδοσης μιτοχονδριακών ασθενειών.

Κληρονομούμενο από τη μητέρα | μπορεί να οδηγήσει σε σοβαρές ασθένειες;

Η μεταφορά της μητρικής ατράκτου βασίζεται στη μεταφορά της μειοτικής ατράκτου από ένα δυσλειτουργικό ωοκύτταρο σε ένα εκπυρηνισμένο ωοκύτταρο υγιούς δότριας;



# Μεταφορά μητρικής ατράκτου

Οι θεραπείες μιτοχονδριακής αντικατάστασης έχουν προταθεί για την πρόληψη της μετάδοσης μιτοχονδριακών ασθενειών.

Κληρονομούμενο από τη μητέρα | μπορεί να οδηγήσει σε σοβαρές ασθένειες.

Η μεταφορά της μητρικής ατράκτου βασίζεται στη μεταφορά της μειοτικής ατράκτου από ένα δυσλειτουργικό ωοκύτταρο σε ένα εκπυρηνισμένο ωοκύτταρο υγιούς δότριας.

Μια πρόσφατη κλινική εφαρμογή αυτής της τεχνικής οδήγησε στη γέννηση του πρώτου παιδιού το 2016.



---

## Article

**Live birth derived from oocyte spindle transfer to prevent mitochondrial disease**



John Zhang <sup>a,b,\*</sup>, Hui Liu <sup>b</sup>, Shiyu Luo <sup>c</sup>, Zhuo Lu <sup>b</sup>,  
Alejandro Chávez-Badiola <sup>a</sup>, Zitao Liu <sup>b</sup>, Mingxue Yang <sup>b</sup>, Zaher Merhi <sup>d</sup>,  
Sherman J Silber <sup>c</sup>, Santiago Munné <sup>f</sup>, Michalis Konstandinidis <sup>f</sup>,  
Dagan Wells <sup>f</sup>, Taosheng Huang <sup>c,\*</sup>

# Σκοπός

Διερεύνηση της σκοπιμότητας της χρήσης της τεχνικής της μεταφοράς μειωτικής ατράκτου (ST) για την αντιμετώπιση της πτωχής εμβρυικής ανάπτυξης.

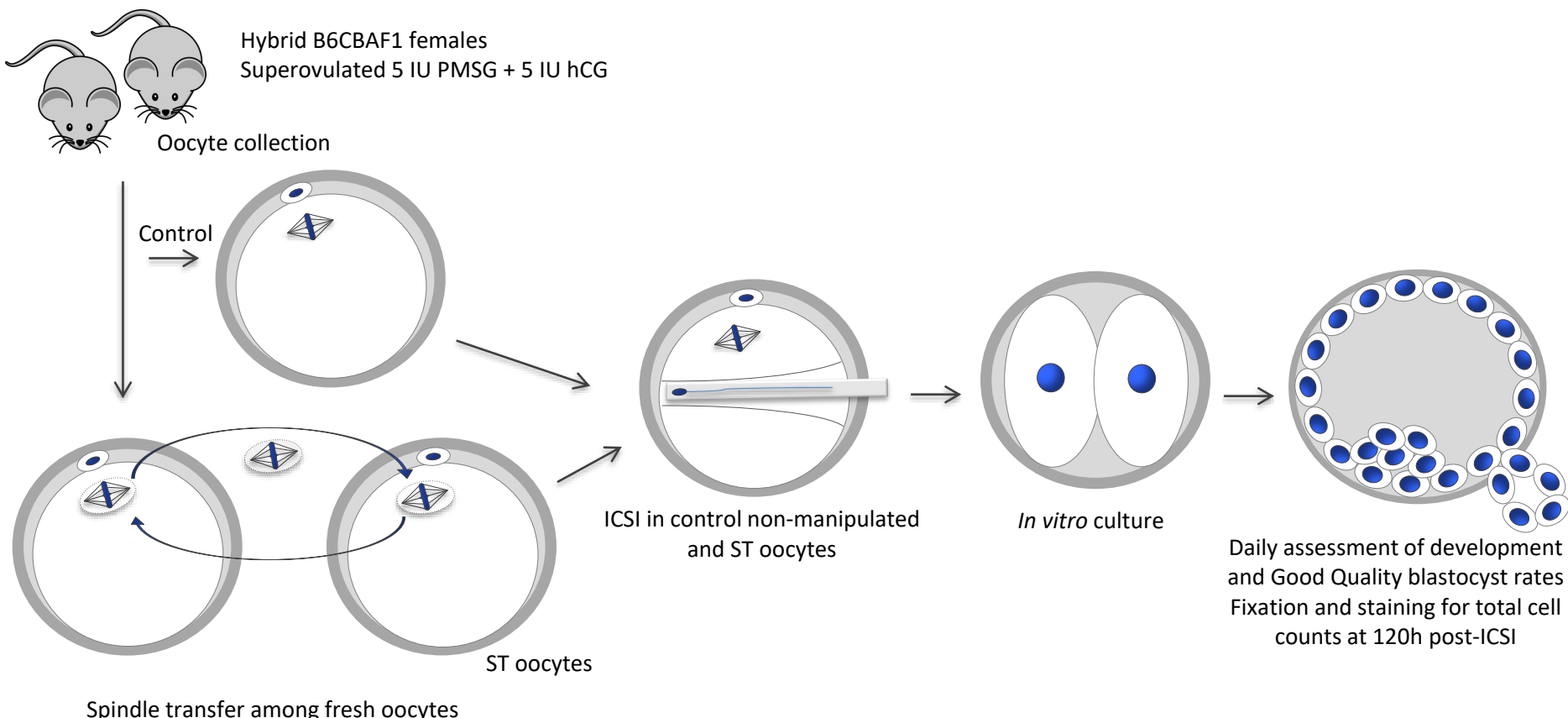
Απόδειξη της έννοιας στο μοντέλο του ποντικιού :

- Σύγριση της ανάπτυξης *in vitro* και *in vivo* των εμβρύων που παράγονται από το ST και των αντίστοιχων εμβρύων μαρτύρων.
- Αξιολόγηση των επιπέδων mtDNA που μεταφέρονται κατά τη διάρκεια ST τόσο σε προεμφυτευτικά έμβρυα όσο και σε διαφορετικά όργανα (πλακούντα, ουρά, εγκεφάλου, νεφρού, ήπατος και καρδιάς) των παραγόμενων ποντικών.
- Παρακολούθηση της κατάστασης της υγείας, της συμπεριφοράς και της γονιμότητας των ST ποντικών σε διάφορες γενιές.

# ΠΕΙΡΑΜΑ 1

# Πειραματικός σχεδιασμός

**Πείραμα 1:** Επικύρωση πρωτοκόλλου με αμοιβαία ST σε υβριδικά ωοκύτταρα ποντικού B6CBAF1. Ποσοστό επιτυχούς εκπυρήνιση και σύντηξη | Μορφολογία ατράκτου | *in vitro* ανάπτυξη | αριθμός κυττάρων



# Μεθοδολογία και αποτελέσματα

**Πείραμα 1:** Επικύρωση πρωτοκόλου με αμοιβαία ST σε υβριδικά ωοκύτταρα ποντικού B6CBAF1. Ποσοστό επιτυχούς εκπυρήνισης | Σύντηξη | Μορφολογία ατράκτου | *in vitro* ανάπτυξη | αριθμός κυττάρων

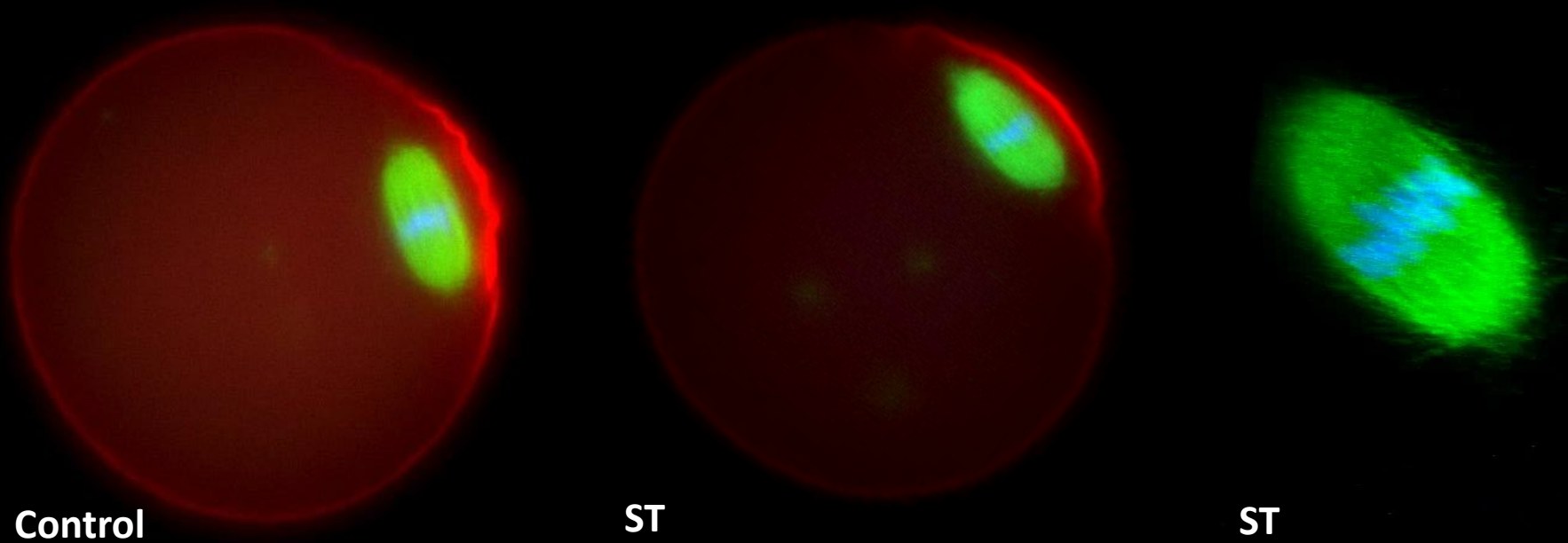
|              | n   | n<br>Εκπυρηνισμένα<br>(%) | n<br>Συντιγμένα<br>(%) | n<br>Επιβίωση ICSI<br>(%) | n<br>Ποσοστό<br>βλαστοκύστεων<br>(%) | n<br>Άριστη<br>μορφολογία<br>(%) | Αριθμός<br>κυττάρων<br>mean ± SD |
|--------------|-----|---------------------------|------------------------|---------------------------|--------------------------------------|----------------------------------|----------------------------------|
| Control ICSI | 85  | N/A                       | N/A                    | 85 (94.3)                 | 77 (90.5)                            | 72 (92.2)                        | <b>193.5 ± 45.3</b>              |
| ST + ICSI    | 107 | 102 (95.3)                | 100 (98.0)             | 91 (91.0)                 | 81 (89.0)                            | 68 (84.0)                        | <b>177.8 ± 48.2</b>              |



# Μεθοδολογία και αποτελέσματα

**Πείραμα 1:** Επικύρωση πρωτοκόλλου με αμοιβαία ST σε υβριδικά ωοκύτταρα ποντικού B6CBAF1. Ποσοστό επιτυχούς εκπυρήνιση και σύντηξης | Μορφολογία ατράκτου | *in vitro* ανάπτυξη | αριθμός κυττάρων

|                  | n  | η ωοκυττάρων που αναλύθηκαν (%)    |                                 |
|------------------|----|------------------------------------|---------------------------------|
|                  |    | Ομαλές μορφολογικά<br>άτρακτοι (%) | Ομαλή χρωμοσωμική<br>διανομή(%) |
| Control fresh    | 13 | 13 (100.0)                         | 13 (100.0)                      |
| ST (Fresh-fresh) | 20 | 20 (100.0)                         | 20 (100.0)                      |



# ΠΕΙΡΑΜΑ 2

# Πειραματικός σχεδιασμός

**Πείραμα 2:** Απόδειξη της έννοιας με χρήση ωκυττάρων ποντικού NZB και B6CBaf1  
Ποσοστό επιτυχούς εκπυρήνιση και σύντηξη | *in vitro* and *in vivo* ανάπτυξη

**ENVIGO**  
Research Models and Services  
Inbred Mice

**NZB (New Zealand Black)**

**Origin**  
Outbred mice from Imperial Cancer Research Fund, London, to University of Otago Medical School in Dunedin, New Zealand. Strains NZB, NZC and NZY were developed from the same stock (Bieluchowski and Gordon, 1970). Strain NZB was derived from the same outbred stock, but was inbred independently by Hall (Hall and Simpson, 1975).

**INBREEDING**  
To Laboratory Animals Centre, Carshalton in 1964, to OLAC (now Envigo) in 1979.

**Research applications**  
Autoimmunity, behavior, immunology, reproduction, lupus erythematosus, immune ectopia, nephropathy, hippocampus.

**Characteristics**  
**Animal model**  
The NZB is a mouse model for autoimmune diseases, especially complex glomerulonephritis, systemic lupus erythematosus.

**Anatomy**  
About 30-40% develop neocortical ectopic recessive gene with incomplete penetrance (Festing et al., 1994). High bone density of femur (Festing et al., 1994). The comparative study of the animal models of human diseases revealed important changes of the large mesothelial cells, involved in the formation of Hassall's corpuscles (HCB), NZB mice x NZW (♀) x NZB mice (♂) large epithelial cells decreased in number in the first weeks of birth. The depletion of epithelial cells is ascribed to a secondary degeneration soon after birth (De Vries and Hämmerle, 1994).

**Reproduction**

**Poor reproductive performance** Litter size 3.8 at weaning, colony output 0.5 young/ female/ week (Festing, 1976). First litter size high but fourth litter low. Low proportion of females produce four or more litters and low percentage of fertile matings (Fernandes et al., 1973). Intermediate breeding performance (Hansen et al., 1973).

Divergent mitochondrial haplotypes (SNP located at position m.3932)

**RESEARCH MODELS**

Rats Mice Other rodents

**B6CBaf1 Mouse**

- Strain name: B6CBaf1/JRj
- Type: Hybrid mouse
- Origin: from ♀ C57BL/6Jr and ♂ CBA/JRj (from JANVIER LABS)
- Colour and related genotype: Agouti mouse, A/a, Pde6b<sup>+/+</sup>, MHC Haplotype H2<sup>b2</sup>
- Breeding: Easy to rear, good maternal instinct

**Description of our model**

These F1 hybrids are the result of a cross between a C57BL/6Jr female and a CBA/JRj male. F1 hybrids are heterozygous at every locus (provided that the parental strains have different alleles). As is the case with inbred strains, they are genetically and phenotypically uniform.

F1 hybrids are often used for their hybrid vigour (resistance and activity). They are especially interesting as genetic background (vigour and repeatability of genetic inheritance) for harmful phenotype models, for tissue transplantation, to determine mechanisms of inheritance, to create or improve expression of polygenic disease.

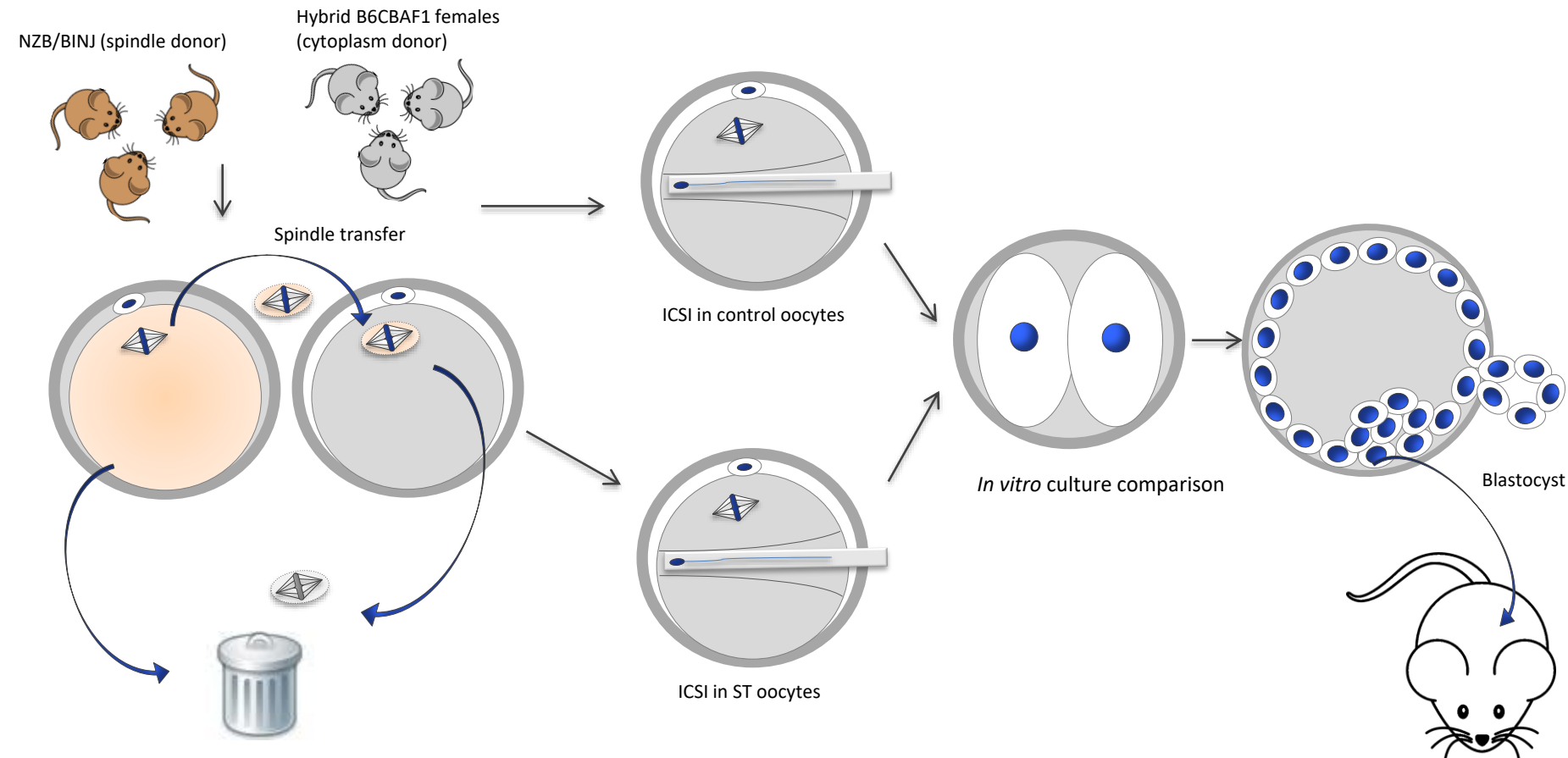
F1 hybrid females are used at JANVIER LABS's as surrogate mothers for embryo transfer thanks to their maternal qualities.

**Excellent reproductive performance**

Graph showing Growth of B6CBaf1 Mice \*  
Mean body weight (g) vs Age in days (21 to 84). The graph shows two curves: Blue (Female) and Red (Male), both showing rapid growth until day 42, then leveling off.

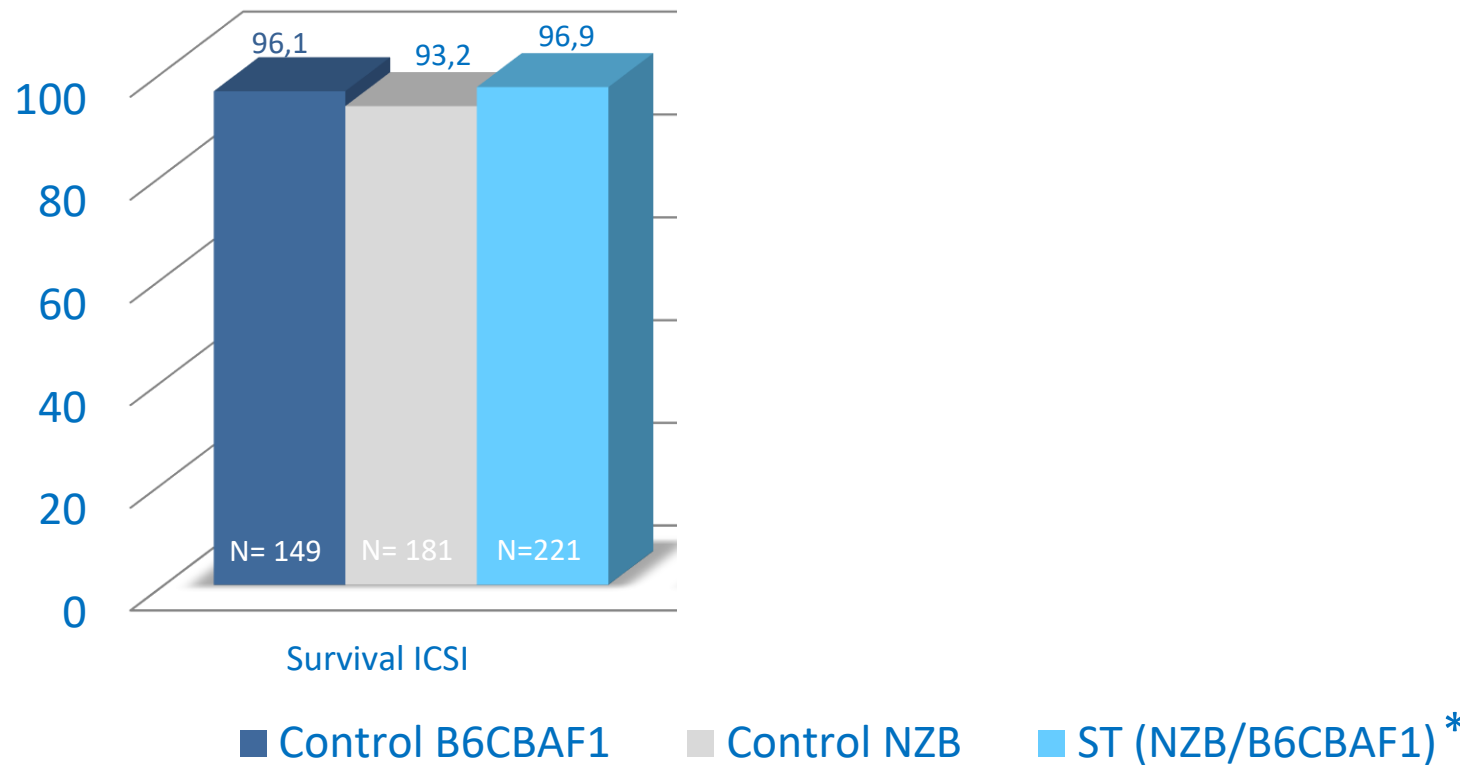
# Πειραματικός σχεδιασμός

**Πείραμα 2:** Απόδειξη της έννοιας με χρήση ωοκυττάρων ποντικού NZB και B6CBAF1  
Ποσοστό επιτυχούς εκπυρήνιση και σύντηξη | *in vitro* and *in vivo* ανάπτυξη



# Μεθοδολογία και αποτελέσματα

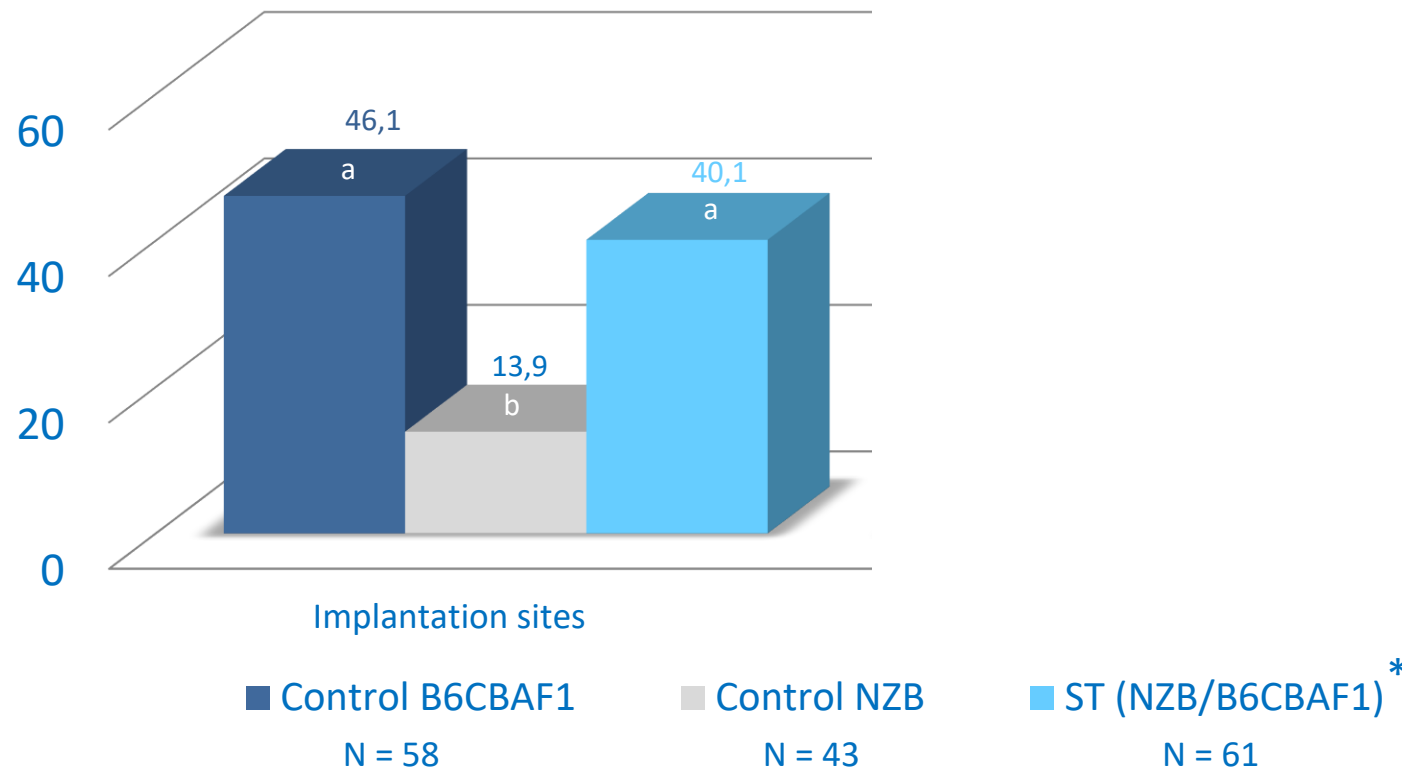
## Πείραμα 2: *in vitro* ανάπτυξη



\* NZB spindle transferred into B6CBAF1 cytoplasm (ST Group: N = 275 | 98% Enucleation rates | 95.7% Fusion rates).  
<sup>a,b</sup> differ statistically significantly p < 0.05.

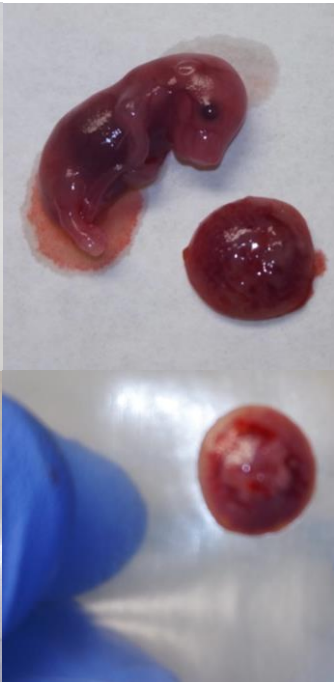
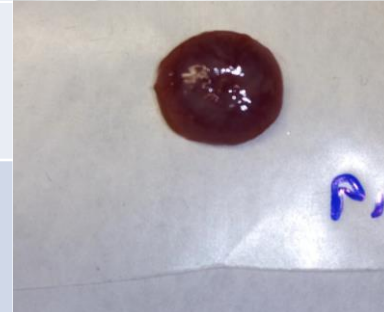
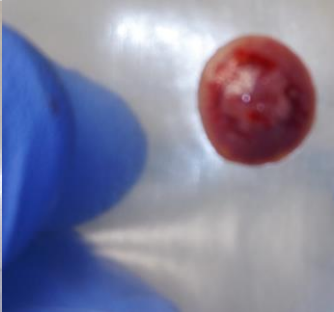
# Μεθοδολογία και αποτελέσματα

## Πείραμα 2: *in vivo* development



# Μεθοδολογία και αποτελέσματα

## Πείραμα 2: Βάρος πλακούντα και νεογνών

|                        | Μέσο βάρος πλακούντα<br>( $\pm$ SD) | Μέσο βάρος νεογνών<br>( $\pm$ SD) | Control  | ST   |
|------------------------|-------------------------------------|-----------------------------------|--|--|
| Control ICSI (B6CBAF1) | N/A                                 | N/A                               |   |  |
| Control ICSI (NZB)     | 171.1 mg (27.9)                     | 747 mg (76.9)                     |  |  |
| ST (NZB/B6CBAF1)*      | 168.3 mg (14.0)                     | 923.5 mg (146.5)                  |  |  |

\* Spindle from B6CBAF1 strain transferred into NZB cytoplasm

# Μεθοδολογία και αποτελέσματα

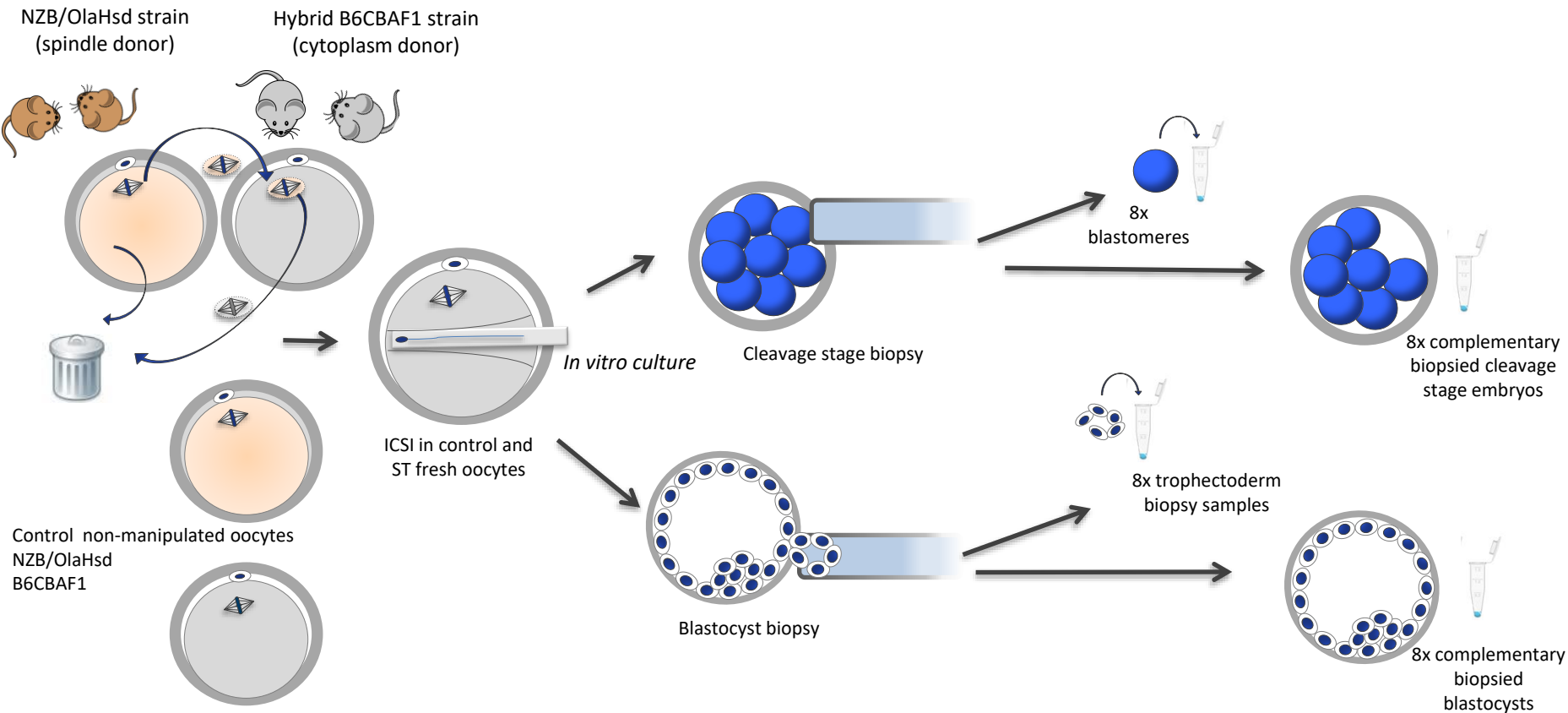
**Πέιραμα 2: ST (NZB/B6CBAF1) νεογνά μερικών ημερών**



# ΠΕΙΡΑΜΑ 3

# Πειραματικός σχεδιασμός

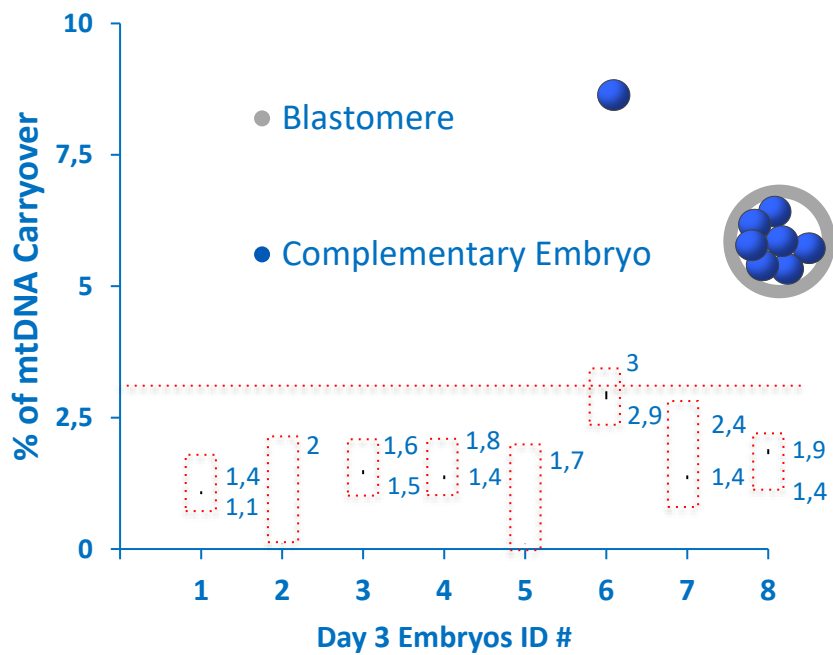
## Πείραμα 3: mtDNA carryover σε δείγματα βιοψίας και συμπληρωματικά έμβρυα



# Μεθοδολογία και αποτελέσματα

## Πείραμα 3: mtDNA carryover σε δείγματα βιοψίας και συμπληρωματικά έμβρυα

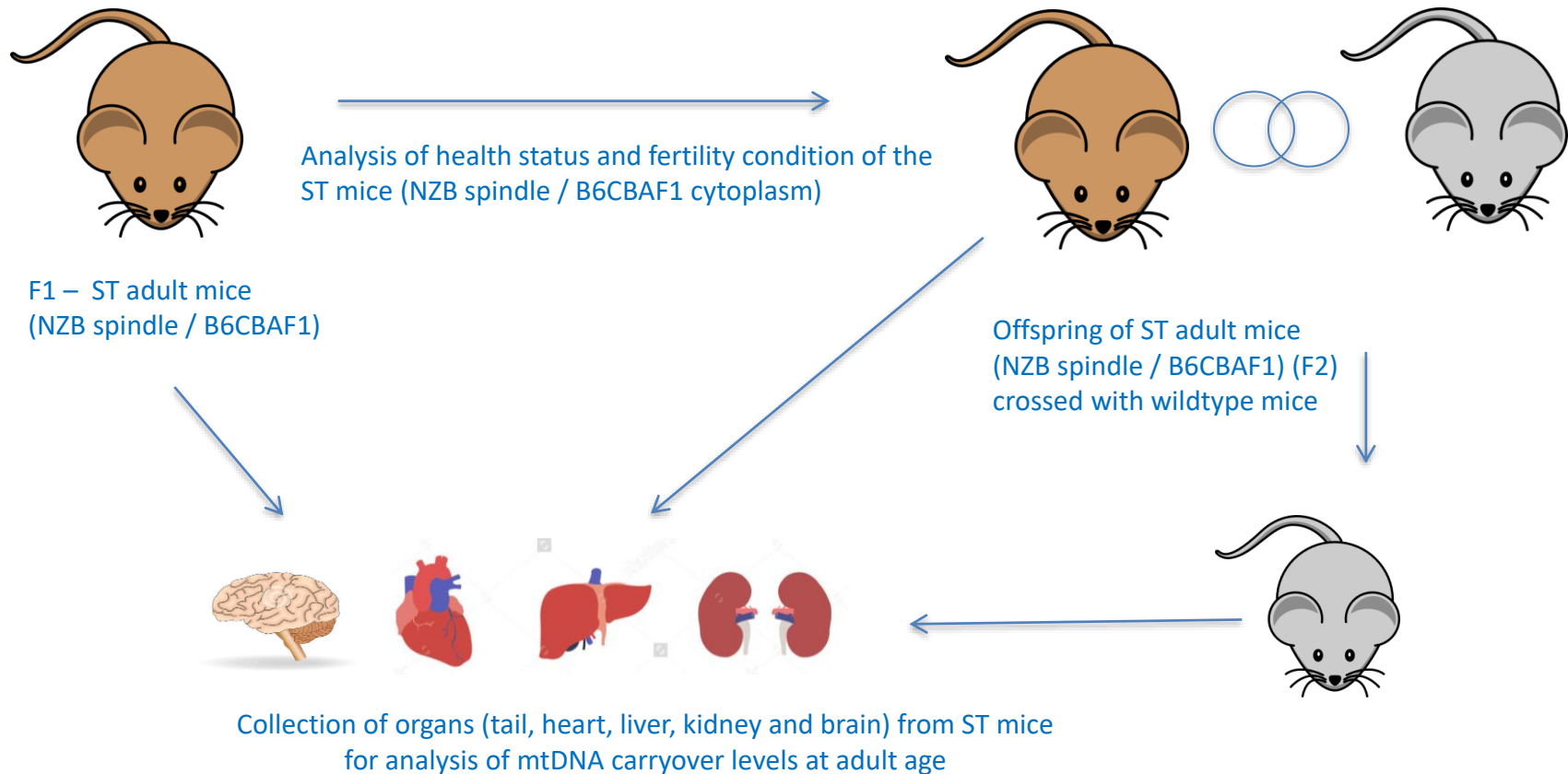
Ετεροπλασμία σε δείγματα βιοψίας και συμπληρωματικά έμβρυα (Day 3 & Day 5)



# ΠΕΙΡΑΜΑ 4

# Πειραματικός σχεδιασμός

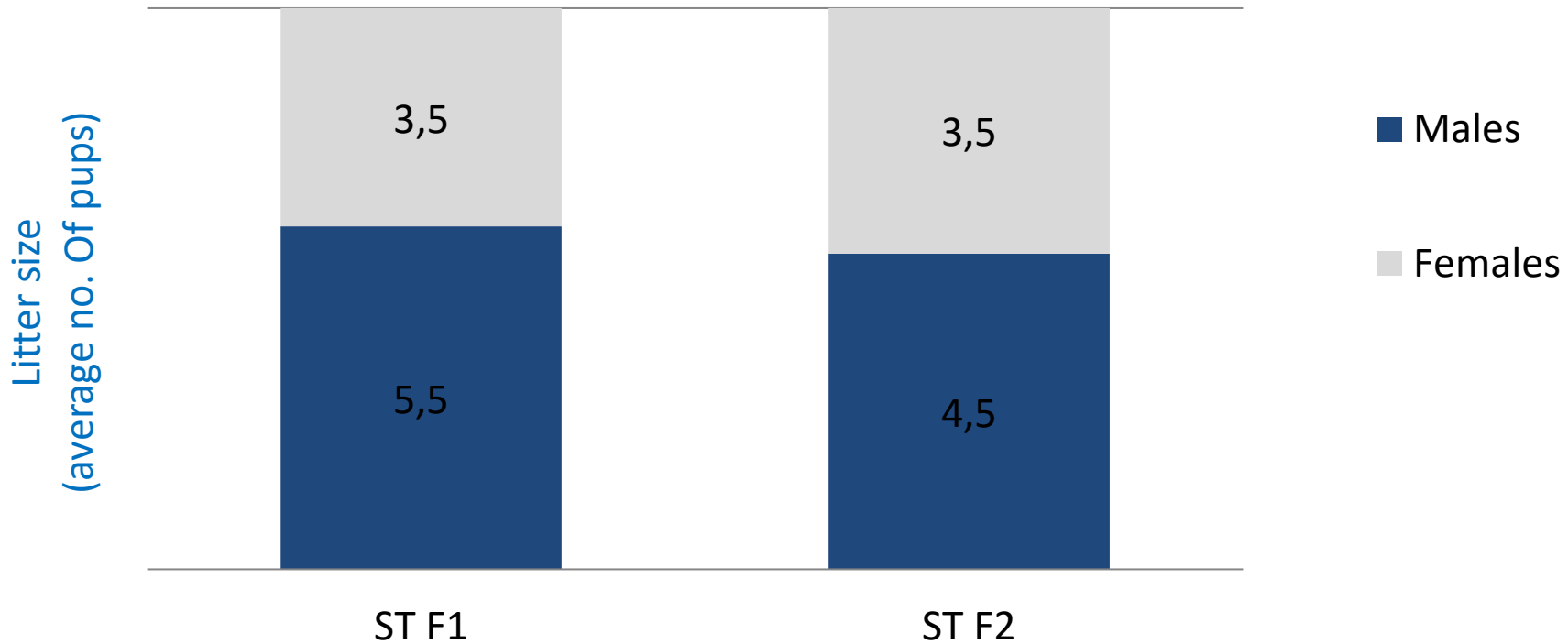
## Πείραμα 4: Γονιμότητα και ποσοστό ετεροπλασμίας σε όργανα ενηλίκων ST ποντικών



# Μεθοδολογία και αποτελέσματα

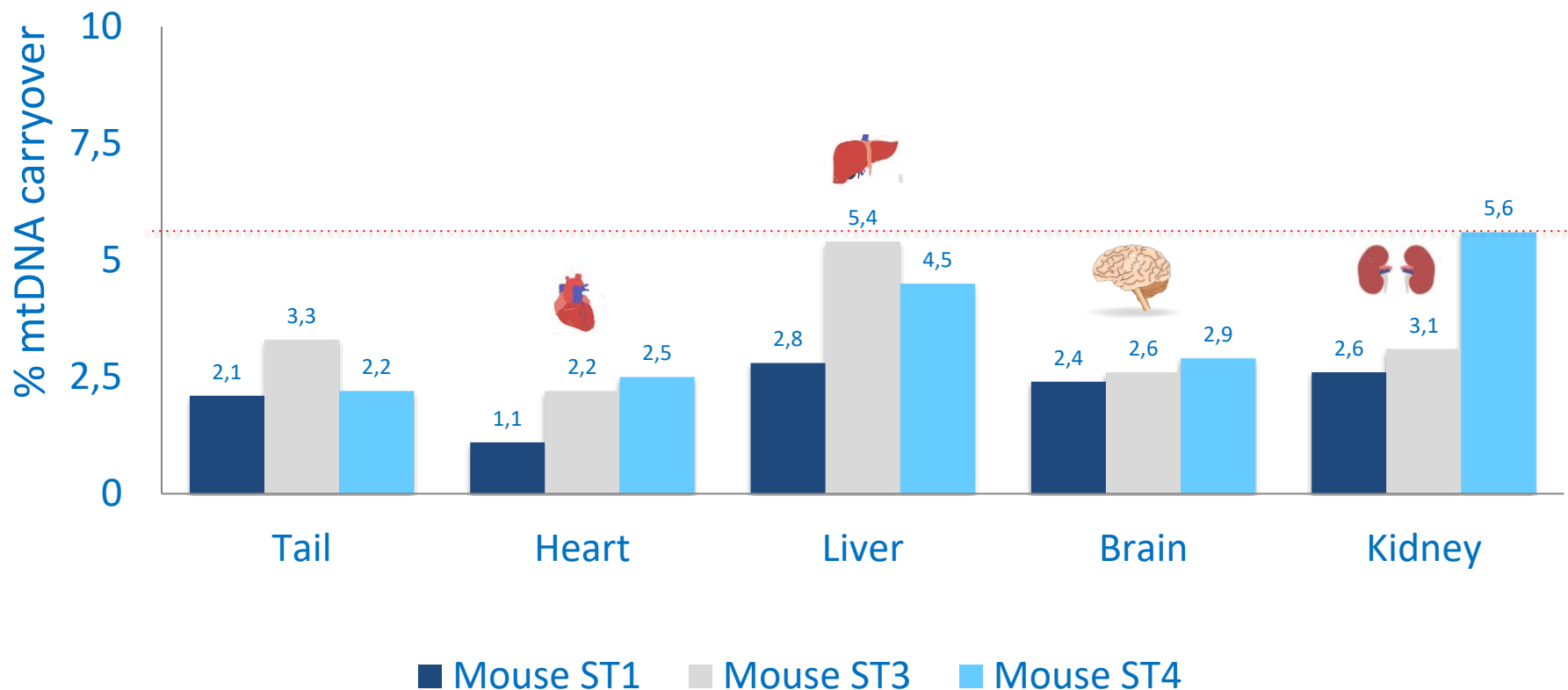
## Πείραμα 4: Γονιμότητα των ST ποντικιών

Όλα τα ST ποντίκια καθώς και οι απόγονοι τους ήταν γόνιμα με μέσο αριθμό απογόνων παρόμοιο με τους μάρτυρες



# Μεθοδολογία και αποτελέσματα

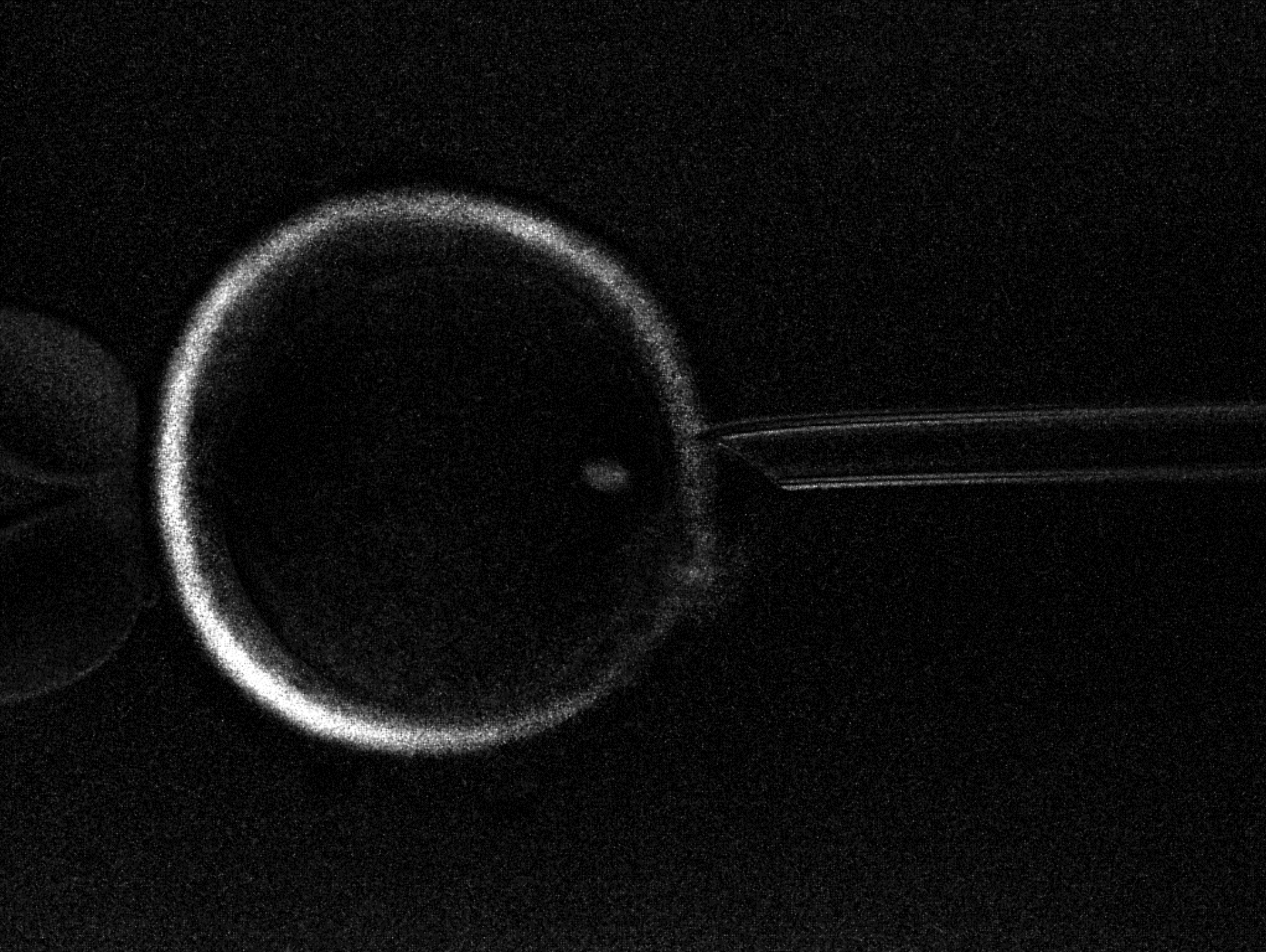
## Πείραμα 4: Ετεροπλασμία στα όργανα ενηλίκων ST ποντικιών

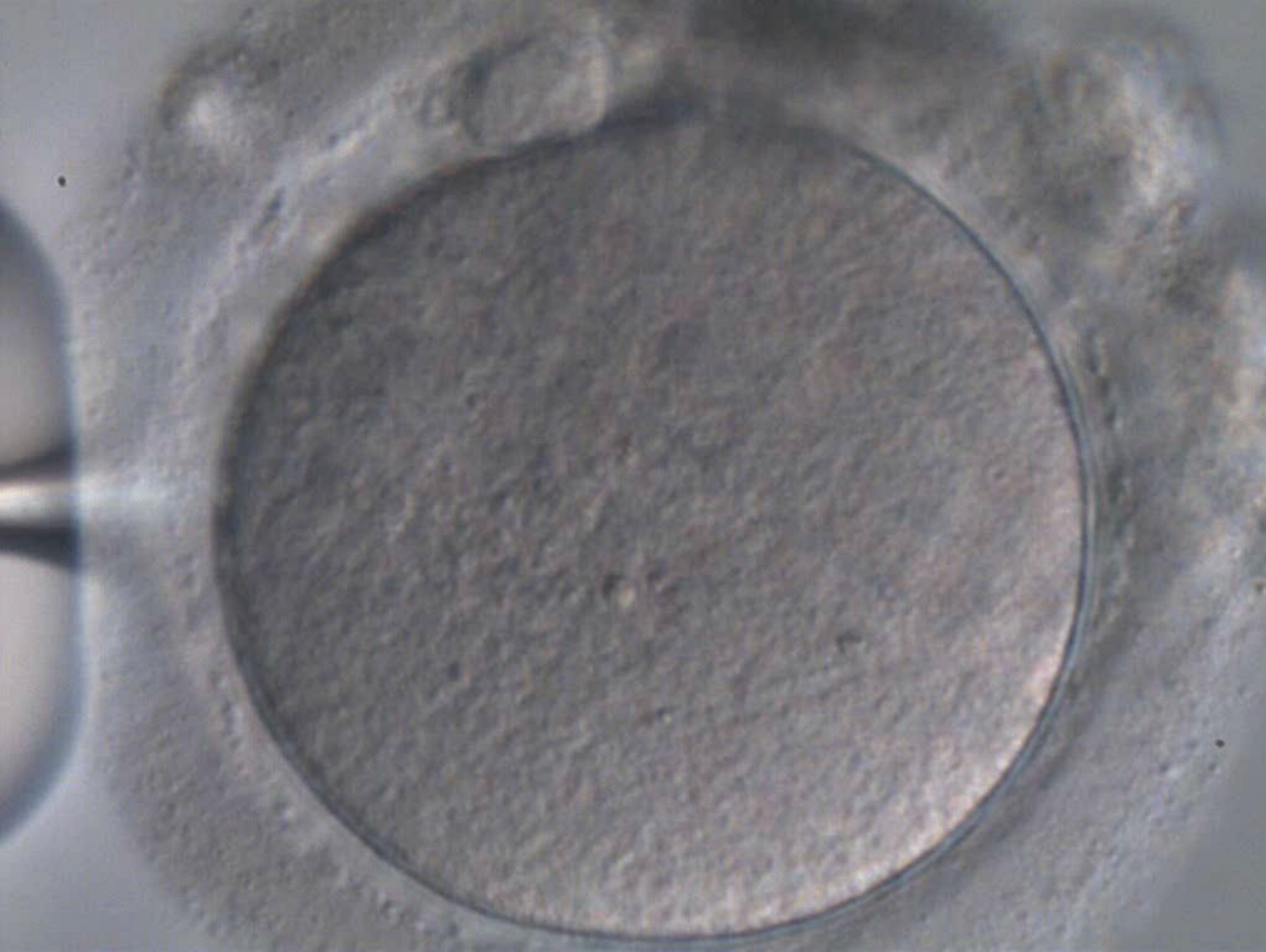




# Συμπεράσματα

1. Το κυτταρόπλασμα του ωοκυττάρου διαδραματίζει ζωτικό ρόλο στην ανάπτυξη του εμβρύου.
2. Η μεταφορά της μητρικής ατράκτου επιτρέπει την αντικατάσταση του κυτταροπλάσματος των ποιοτικά πτωχών ωοκυττάρων ποντικών για την αντιμετώπιση της πτωχής εμβρυικής ανάπτυξης.
3. Τα MST ποντίκια παρουσιάζουν χαμηλά και σταθερά επίπεδα ετεροπλασμίας mtDNA στα όργανα που αναλύονται σε ενήλικη ηλικία και κατάσταση υγείας και συμπεριφοράς παρόμοια με τα ποντίκια μάρτυρες.
4. Εάν αποδειχθεί επιτυχής η εφαρμογή στον άνθρωπο, το MST μπορεί να αποτελέσει ένα πολύτιμο εργαλείο, όχι μόνο για την πρόληψη μιτοχονδριακών κληρονομικών νόσων, αλλά και για τη θεραπεία της υπογονιμότητας που προκαλείται από τις κυτταροπλασματικές δυσλειτουργίες των ωαρίων.







# Acknowledgements



Gloria Calderon, PhD

Klaus Rink, PhD

Enric Mestres, MSc

Maria Garcia, MSc

Ivette Vanrell, MSc

Alba Casals

David Raga

Luz Garcia



**PCB-PRBB ANIMAL FACILITY ALLIANCE**

Jesus Gonzalez, DVM, MSc

Rosa Balmaseda

Javier Palacios



Parc Científic de Barcelona  
UNIVERSITAT DE BARCELONA



Unió Europea  
Fons Europeu  
de Desenvolupament Regional

**ACCIÓ**



Generalitat  
de Catalunya

This study was partially financed by the Acció-Generalitat de Catalunya and the European Regional Development funds (ERDF) Ref. RD 15-1-0011.



Ευχαριστώ για την προσοχή σας ! ! !

Έρως Νικητός  
[enikitos@iaso.gr](mailto:enikitos@iaso.gr)